

反硝化生物膜滤池脱氮影响因素分析

蒋柱武¹, 张仲航², 陈礼洪¹, 魏忠庆³, 颜丽红¹, 王 晟¹,
郭娜妹¹, 武江南¹

(1. 福建工程学院 生态环境与城市建设学院, 福建 福州 350018; 2. 中国市政工程中南设计研究总院有限公司, 湖北 武汉 430010; 3. 福州城建设计研究院有限公司, 福建 福州 350001)

摘要: 采用反硝化生物膜滤池(DNBF)模拟装置处理城市污水厂的出水, 并分析脱氮效能。在水温为14.3~22.8℃、pH值为6.7~7.4的条件下, 通过单因素试验和正交试验, 考察C/N值、温度、HRT、DO等因素对反硝化生物膜滤池脱氮效果的影响。试验结果表明, C/N值由0.89上升到12.46过程中, COD去除率呈现先上升后下降的变化趋势, 且在C/N值为5.91时COD去除率达到最大; TN和NO₃⁻-N去除率分别在C/N值为5.04和3.65时达到最高。当C/N值≤3.65时, 碳源不足导致TN去除率较低和NO₂⁻-N的累积; 当C/N值≥5.91时, 碳源过量条件下, TN去除率未明显下降, DNBF脱氮率仍高达96%。当平均水温由22℃(夏季)降低至15℃(冬季)时, 平均脱氮率由96%降低至83%。正交试验结果表明, 对于COD、TN、NO₃⁻-N去除率而言, HRT的极差均最大, 即HRT是DNBF脱氮性能的主要影响因素。

关键词: 生物膜滤池; 脱氮; 反硝化; 影响因素

中图分类号: TU992.3 **文献标识码:** A **文章编号:** 1000-4602(2019)07-0101-06

Analysis of Influencing Factors of Nitrogen Removal in a Denitrification Biological Filter

JIANG Zhu-wu¹, ZHANG Zhong-hang², CHEN Li-hong¹, WEI Zhong-qing³,
YAN Li-hong¹, WANG Sheng¹, GUO Na-mei¹, WU Jiang-nan¹

(1. School of Ecological Environment and Urban Construction, Fujian University of Technology, Fuzhou 350018, China; 2. Central and Southern China Municipal Engineering Design & Research Institute Co. Ltd., Wuhan 430010, China; 3. Fuzhou City Construction Design & Research Institute Co. Ltd., Fuzhou 350001, China)

Abstract: The effluent from a municipal wastewater treatment plant was treated by a simulated denitrification biological filter (DNBF), and the nitrogen removal efficiency was analyzed. The influences of C/N ratio, temperature, hydraulic retention time (HRT) and dissolved oxygen (DO) on denitrification were investigated through single factor test and orthogonal test when the water temperature and pH were 14.3~22.8℃ and 6.7~7.4. The results showed that the COD removal rate increased first and then decreased when the C/N ratio increased from 0.89 to 12.46, and the maximum COD removal rate was detected when the C/N ratio was 5.91. The removal rates of TN and NO₃⁻-N were the highest when the C/N ratio was 5.04 and 3.65, respectively. When the C/N ratio was no more than

基金项目: 福建省高校产学合作科技重大项目(2016H6003); 国家自然科学基金面上资助项目(51878171)

3.65, the low TN removal rate and the accumulation of $\text{NO}_2^- - \text{N}$ was observed due to the lack of carbon source. However, the removal rate of TN did not decrease significantly due to excessive carbon source when the C/N ratio was no less than 5.91, and the nitrogen removal rate of DNBF was still 96%. The average removal rate of nitrogen decreased from 96% to 83% when the average water temperature decreased from 22 °C in summer to 15 °C in winter. Results of the orthogonal test indicated that the range of HRT of COD, TN and $\text{NO}_3^- - \text{N}$ removal rates was always the largest, which further proved that HRT was the main influencing factor of nitrogen removal in the DNBF.

Key words: biological filter; nitrogen removal; denitrification; influencing factor

目前我国大多数城市污水处理厂出水 TN 浓度均偏高^[1],不能全面达到《城镇污水处理厂污染物排放标准》(GB 18918—2002)的一级 A 要求。因此,进一步去除城市污水厂出水中的 TN 是传统活性污泥法面临的挑战^[2]。反硝化生物膜滤池(DNBF)因占地面积省、水力负荷大、相对投资少、对城市污水厂出水 TN 的去除效果好等优点,已成为城市污水深度处理领域研究和应用的热点^[3]。目前,国内外学者对反硝化生物膜滤池的碳源类型、C/N 值和 HRT 等影响因素^[4]的研究较多。但采用单因素试验法无法揭示多因素交互作用下可能的最佳 C/N 值和 HRT,而正交试验是以最优的因素组合和最佳试验结果为目标的方法,具有效率高、准确、经济等优点^[5]。

因此,笔者以城市污水处理厂出水总氮为主要去除目标,以乙酸钠作为外加碳源,采用单因素试验和正交试验分析不同 C/N 值下反硝化生物膜滤池的脱氮效能,并确定多因素交互作用下的最佳 C/N 值和 HRT,以期优化反硝化生物膜滤池的工艺参数,旨在为反硝化生物膜滤池脱氮的工程设计和应用提供参考。

1 试验材料与方法

1.1 试验装置

反硝化生物反应器的材质为有机玻璃,该反应器由两根串联运行的滤柱组成,其外形尺寸均为 Ø100 mm × 1 200 mm(见图 1)。第 1 根滤柱(一柱)和第 2 根滤柱(二柱)分别采用上向流和下向流的方式运行。进水区高度为 150 mm,内部设有进水管、反冲洗气管和反冲洗水管,管路上分别安装了气、水流量计。滤柱内填充轻质陶粒滤料,单柱滤料层厚度为 700 mm,滤层空隙率为 27%,滤层容积为 1.377 L。实际工程中,反硝化生物滤池水力负荷一般为 115.2 ~ 184.3 m³/(m² · d),HRT 为 0.28 ~

0.38 h,滤料层厚度为 1.83 ~ 2.44 m^[6-7]。有研究发现,反硝化生物膜滤池高效脱氮段较短,其沿水流方向主要集中在滤层 0 ~ 200 mm^[8] 或 0 ~ 600 mm^[9] 范围内。因此,本试验以 600 mm 高效段为基础,增加 100 mm 的耐水质冲击负荷高度,将滤层厚度设计为 700 mm。进水区与滤料区用滤板隔开,滤板上均匀布置 9 个 5 mm 的滤孔。以滤板为起点在滤柱壁 300 和 600 mm 处各设一个取样口。滤柱顶端设置三角溢流口,出水流入排水槽。

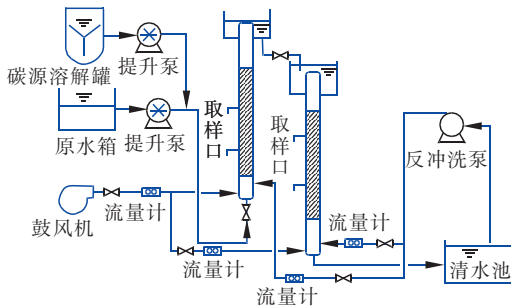


图 1 试验装置示意

Fig. 1 Schematic diagram of test device

1.2 原水水质

本试验以城市污水经 SBR 工艺处理后的出水作为原水。具体水质如下: COD、TN、 $\text{NO}_3^- - \text{N}$ 、氨氮、 $\text{NO}_2^- - \text{N}$ 、DO 浓度分别为 7.0 ~ 29.5、11.8 ~ 26.7、11.4 ~ 24.3、0.2 ~ 0.3、0 ~ 2.5、3.4 ~ 7.2 mg/L, 平均值分别为 13.9、20.4、20.2、0.2、0.5、5.3 mg/L;pH 值为 6.7 ~ 7.4, 平均值为 7.1; 温度为 14.3 ~ 22.8 °C, 平均值为 20.3 °C。

1.3 检测项目及方法

COD 采用快速消解分光光度法测定, $\text{NO}_3^- - \text{N}$ 采用酚二磺酸分光光度法测定, 氨氮采用纳氏试剂分光光度法测定, $\text{NO}_2^- - \text{N}$ 采用 N-(1-萘基)-乙二胺分光光度法测定, TN 采用碱性过硫酸钾消解-紫外分光光度法测定, pH 值采用 pH 计测定, 溶解

氧采用便携式溶解氧仪测定。

2 结果与分析

2.1 C/N值对污染物去除效果的影响

在HRT为0.7 h的条件下,分析C/N值(0.89、1.37、3.10、3.19、3.65、4.27、5.04、5.91、6.84、7.48、8.24、9.81、11.82和12.46)对DNBF工艺脱氮效能的影响,每个C/N值下运行4 d,试验数据取平均值,结果如图2所示。可知,C/N值对COD、TN、NO₃⁻-N去除率的影响可以分为3个阶段(I、II、III),各阶段C/N值依次为0.89~3.65、4.27~5.91和6.84~12.46。

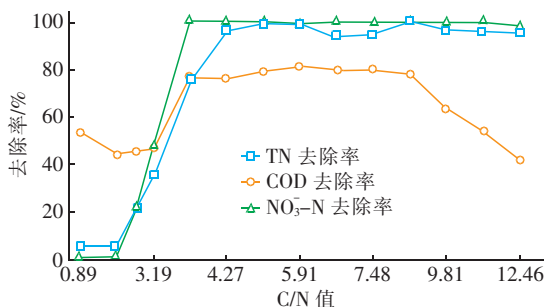


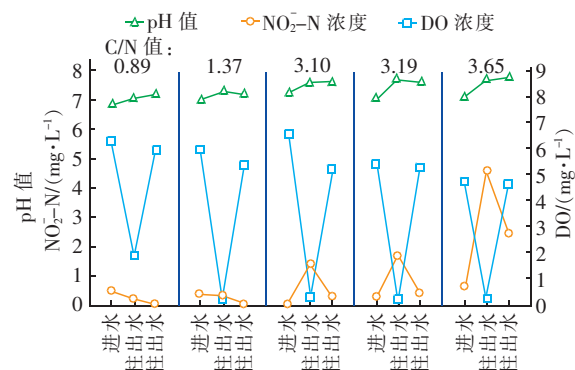
图2 不同C/N值条件下COD、TN、NO₃⁻-N去除率的变化

Fig. 2 Removal rates of COD, TN and NO₃⁻-N at different C/N ratios

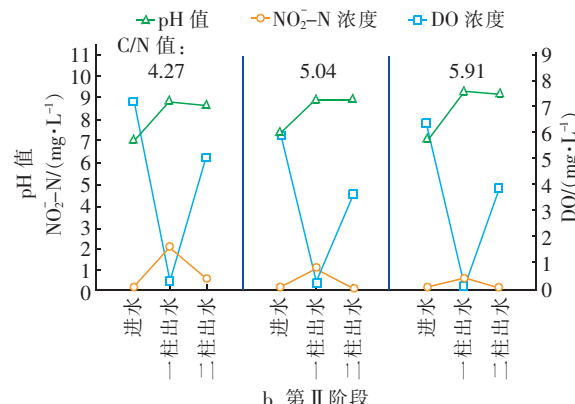
第I阶段:由图2可知,随着C/N值增加,TN和NO₃⁻-N的平均去除率呈上升趋势,分别由5%和零上升到76%和100%,说明DNBF系统内微生物发生了反硝化作用。同时发现,原水在经过一柱后出水pH值均出现升高现象,而DO则明显降低,DO平均值为0.57 mg/L,满足反硝化反应条件,见图3(a)。NO₂⁻-N出现累积现象,且随着C/N值增加,累积现象越明显,并在C/N值为3.65时累积量达到最高值4.59 mg/L,说明此阶段由于碳源不足,导致反硝化不彻底。当C/N值由3.65上升到4.27时,NO₂⁻-N累积现象开始缓解,降低到1.98 mg/L,但NO₂⁻-N的累积仍然表明碳源不足。

第II阶段:随着C/N值增加,一柱出水亚硝态氮浓度呈降低趋势,如图3(b)所示。在C/N值由4.27增加到5.91过程中,NO₂⁻-N浓度由1.98 mg/L逐渐降低至0.22 mg/L,相比第I阶段C/N值为3.19和3.65时NO₂⁻-N浓度降低明显。第II阶段TN和NO₃⁻-N的去除率变化比较稳定,平均去除率分别为96%和99%。COD的去除率由76%升

高至81%,变化较小。一柱出水pH值由8.86升高至9.34。TN、NO₃⁻-N和COD去除率上升是因为DNBF系统内陶粒滤料的微孔结构形成了缺氧环境,抑制了好氧异养菌的生长繁殖及活性;同时充足的碳源为反硝化细菌提供电子供体,使NO₂⁻-N和NO₃⁻-N在缺氧区完成脱氮。第I阶段,碳源不足导致了NO₂⁻-N累积,且TN去除率较低。而在第II阶段,碳源充足,NO₂⁻-N累积现象消失,且TN平均去除率达到96%,证明碳源不足是引起TN去除率不高和NO₂⁻-N累积的主要原因。



a. 第I阶段



b. 第II阶段

图3 第I、II阶段pH值、DO和NO₂⁻-N的沿程变化

Fig. 3 Variation of pH, DO and NO₂⁻-N concentration at different C/N ratios

第III阶段:当C/N值由6.84增加至12.46时,COD去除率由80%降低至42%。TN和NO₃⁻-N去除率却没有明显的变化,平均去除率分别为96%和99%。针对COD去除率明显下降而NO₃⁻-N和TN去除率无明显变化的现象,分析其原因:理论上去除一定浓度的氮所需要的碳源是固定的,随着进水C/N值的增加,需要脱除的氮的比例越来越小,因此COD的去除率大幅降低;但过量的碳源并未对

TN的去除产生明显影响,主要是因为陶粒滤料表面及内部具有许多微孔结构,阻碍了溶解氧的传递,抑制了好氧异养菌的生长,对反硝化系统起到了保护作用。所以,对于DNBF系统而言,过高的C/N值不会引起TN去除率降低,这与崔延瑞等^[10]的研究结果一致。

综上所述,当HRT为0.7 h、C/N值为5.04和5.91时,TN和NO₃⁻-N去除率均较高,且COD去除率和NO₂⁻-N累积量总体相差不大,从经济可行性方面考虑,最适C/N值确定为5.04,这与李文龙等^[11]确定的最佳C/N值为5相近,此时DNBF系统对TN和NO₃⁻-N的去除率分别为96%和99%,COD去除率为81%。

2.2 水温对污染物去除效果的影响

在C/N值为5.04、HRT为0.7 h的条件下,分析夏季(平均水温为22℃)和冬季(平均水温为15℃)时DNBF系统对TN和COD的去除效果,如图4所示。

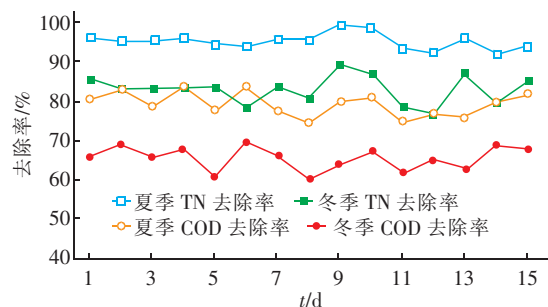


图4 夏季和冬季时TN和COD去除率的变化

Fig. 4 Change of removal rates of TN and COD in summer and winter

由图4可以看出,夏季时DNBF系统对TN和COD的去除率均高于冬季,TN平均去除率在夏季时为96%,冬季则降低至83%,下降了13%。COD平均去除率由夏季时的81%下降至冬季时的65%。分析原因,反硝化细菌对温度比较敏感,张焕杰等^[12]认为,反硝化细菌在20~40℃时活性较高,当水温降低至15℃时,导致反硝化细菌体内的酶活性受到抑制,限制了反硝化过程,从而降低了TN和COD的去除率。

2.3 正交试验

根据2.1节可知,在第Ⅱ阶段中COD、TN和硝态氮的去除率变化较小,为了更好地确定最佳C/N值并探究HRT和DO对污染物去除效果的影响,采用正交试验进行分析。

试验因素选定为HRT(A)、C/N值(B)和DO(C),选用L₉(3³)正交表(见表1),分析结果如表2所示。

表1 正交试验设计

Tab. 1 Design of orthogonal test

序号	HRT/h	C/N值	DO/(mg·L ⁻¹)	去除率/%		
				COD	TN	NO ₃ ⁻ -N
1	0.7	4.27	5.5~6.0	76	95	99
2	0.7	5.04	5.0~5.5	78	96	100
3	0.7	5.91	4.5~5.0	78	96	99
4	0.47	4.27	5.0~5.5	83	71	86
5	0.47	5.04	4.5~5.0	80	80	87
6	0.47	5.91	5.5~6.0	82	96	100
7	0.35	4.27	4.5~5.0	53	70	95
8	0.35	5.04	5.5~6.0	63	73	99
9	0.35	5.91	5.0~5.5	61	73	98

表2 直观分析结果

Tab. 2 Calculation results of visual analysis

项 目	COD 去除率			TN 去除率			NO ₃ ⁻ -N 去除率		
	A	B	C	A	B	C	A	B	C
均值1/%	77.33	70.67	74.00	95.67	78.67	80.00	99.33	93.33	94.67
均值2/%	81.67	73.67	73.67	82.33	83.00	88.00	91.00	95.33	99.33
均值3/%	59.00	73.67	70.33	72.00	88.33	82.00	97.33	99.00	93.67
极差/%	22.67	3.00	3.67	23.67	9.67	8.00	8.33	5.67	5.67
最优水平	A2	B2	C1	A1	B3	C2	A1	B3	C2

由表2可知,对于COD、TN和NO₃⁻-N去除率而言,HRT的极差均最大,说明HRT对DNBF系统的处理效果具有决定性作用,是去除有机物和脱氮的主要影响因素。同时还可以看出,当HRT由0.35 h延长至0.7 h时(均值3至均值1各污染物

去除率中A的变化),COD平均去除率由59.00%增加至77.33%,TN平均去除率由72.00%增加至95.67%,NO₃⁻-N平均去除率由97.33%增加至99.33%,可见DNBF系统对污染物的去除效果随HRT的延长而提高,与文献[13]的结果一致。分析

原因,一方面延长 HRT 后,滤速降低,水流紊动剪切作用造成滤料上生物膜大量脱落的现象减少,水中污染物被微生物及时处理后流出反应系统,使反硝化作用顺利进行,脱氮率上升;另一方面,滤速的降低缓解了滤池中 DO 浓度过大的现象,有利于生物反硝化脱氮作用。

试验还分析了 HRT 对 COD 去除率和 TN 去除率的影响,结果表明在 HRT 由 0.7 h 延长至 1.4 h 过程中,当 C/N 值分别为 4.27 和 5.04 时,COD 去除率均呈上升趋势,COD 平均去除率分别提高 5.7% 和 1.3%。当 C/N 值为 5.91 时,COD 平均去除率下降了 8.4%。另外,当 C/N 值分别为 4.27、5.04 和 5.91 时,TN 去除率均呈现下降趋势,分别下降了 6.0%、22.7% 和 25.4%。上述现象说明,延长 HRT 对提高污染物的去除率不一定有利,这与苑泉等^[14]的结论相同。当 HRT 为 0.7 h 时,出水 COD <23 mg/L、TN <3.7 mg/L,远低于《城镇污水处理厂污染物排放标准》(GB 18918—2002)一级 A 标准限值。

综上所述,该试验最适 HRT 为 0.7 h。在该 HRT 条件下,当 C/N 值为 5.04 和 5.91 时,对 COD 和 TN 的去除率差别不大,从经济可行性考虑,确定最适 C/N 值为 5.04。

分析各项评价指标的次要影响因素,从表 2 还可以看出,对 COD 去除率的次要影响因素为 DO,对 TN 去除率的次要影响因素为 C/N 值,C/N 值和 DO 对 NO₃⁻-N 去除率的极差相等,说明两者对硝态氮去除率的影响程度相同。因此,DO 和 C/N 值对各项评价指标没有明显一致的影响趋势,均不能作为次要影响因素。

3 结论

① 当 C/N 值≤3.65 时,碳源不足造成 TN 去除率不高,使 NO₂⁻-N 累积;当 C/N 值≥5.91 时,碳源过量,反硝化生物膜滤池中滤料表面微孔结构对反硝化作用具有保护作用,TN 去除率没有明显下降,DNBF 系统对 TN 的去除率为 96%。

② 水温对 DNBF 系统的脱氮性能有明显影响,平均水温由 22 ℃(夏季)下降至 15 ℃(冬季)时,DNBF 系统的 TN 平均去除率由 96% 下降至 83%,COD 平均去除率由 81% 下降至 65%。

③ 正交试验结果表明,对于 COD、NO₃⁻-N、TN 去除率而言,HRT 的极差均最大,即 HRT 是

DNBF 脱氮性能的主要影响因素。

④ 综合分析经济成本和试验结果,本试验采用反硝化生物膜滤池处理二级出水,在最佳 C/N 值为 5.04、最佳 HRT 为 0.7 h 条件下,出水 TN 浓度低于 3.7 mg/L,远低于《城镇污水处理厂污染物排放标准》(GB 18918—2002)的一级 A 排放限值。

参考文献:

- [1] 李金波,陶虎春,李绍峰. BAC-FB 与传统活性污泥法处理生活污水的对比研究[J]. 东北农业大学学报,2010,41(4):59-63.
Li Jinbo, Tao Huchun, Li Shaofeng. Comparative study on biological activated carbon fluidized bed and conventional activated sludge treating domestic sewage [J]. Journal of Northeast Agricultural University, 2010, 41(4):59-63 (in Chinese).
- [2] 邹高龙,张健君,杨淑芳,等. 传统活性污泥法新增脱氮除磷功能的成功改造实例[J]. 中国给水排水,2014,30(6):81-84.
Zou Gaolong, Zhang Jianjun, Yang Shufang, et al. Reconstruction of traditional activated sludge process by adding nitrogen and phosphorus removal function [J]. China Water & Wastewater, 2014, 30 (6): 81-84 (in Chinese).
- [3] 高建锋,杨碧印,赵建树,等. 反硝化生物滤池用于再生水脱氮效能及动力学研究[J]. 环境工程学报,2016,10(1):199-204.
Gao Jianfeng, Yang Biyin, Zhao Jianshu, et al. Nitrogen removal and denitrification kinetics of denitrification biological filter for reclaimed water treatment [J]. Chinese Journal of Environmental Engineering, 2016, 10 (1):199-204 (in Chinese).
- [4] 孙迎雪,胡银翠,孙云祥,等. 反硝化生物滤池深度脱氮机理[J]. 环境工程学报,2012,6(6):1857-1862.
Sun Yingxue, Hu Yincui, Sun Yunxiang, et al. Denitrification biological filter as tertiary treatment for nitrogen removal [J]. Chinese Journal of Environmental Engineering, 2012, 6(6):1857-1862 (in Chinese).
- [5] 张崟,王卫,张佳敏,等. 响应面法和正交试验对骨素酶解工艺优化的比较[J]. 食品研究与开发,2012,33(7):53-56.
Zhang Yin, Wang Wei, Zhang Jiamin, et al. Comparison of the optimized hydrolysis processing for bone extract obtain by orthogonal and response surface design experiments [J]. Food Research and Development,

- 2012,33(7):53–56(in Chinese).
- [6] 于跃,李渊博. A²O 氧化沟–混凝沉淀–反硝化深床滤池工艺在大型经开区污水处理中的应用[J]. 工业用水与废水,2016,47(3):1–5.
Yu Yue,Li Yuanbo. Application of A²O oxidation ditch-coagulation sedimentation-deep bed denitrification filter process in treatment of wastewater from large economic-technological development area [J]. Industrial Water & Wastewater,2016,47(3):1–5 (in Chinese).
- [7] 陈爱朝,王海峰,周继,等. 七格污水处理厂提标改造工程设计[J]. 中国给水排水,2016,32(24):118–121.
Chen Aichao,Wang Haifeng,Zhou Ji,*et al.* Design of upgrading and reconstruction project of Qige Wastewater Treatment Plant [J]. China Water & Wastewater,2016,32(24):118–121 (in Chinese).
- [8] 杨碧印,李文龙,许仕荣,等. 不同外加碳源反硝化滤池的挂膜与启动特性研究[J]. 水处理技术,2015,41(4):104–107.
Yang Biyin,Li Wenlong,Xu Shirong,*et al.* Biofilm culturing and start-up properties of denitrification biological filter with different external carbon sources [J]. Technology of Water Treatment,2015,41(4):104–107 (in Chinese).
- [9] 王波,梅峰,李旭宁,等. 反硝化生物滤池用于白酒废水深度脱氮处理研究[J]. 中国给水排水,2014,30(17):120–122,127.
Wang Bo,Mei Feng,Li Xuning,*et al.* Denitrifying biofilter for advanced nitrogen removal treatment of liquor wastewater [J]. China Water & Wastewater,2014,30(17):120–122,127 (in Chinese).
- [10] 崔延瑞,邱鑫,张庆荣,等. 生物活性炭对不同C/N比废水同步硝化反硝化脱氮效果的影响[J]. 环境科学,2016,37(11):4296–4301.
Cui Yanrui,Qiu Xin,Zhang Qingrong,*et al.* Influence of biological activated carbon on simultaneous nitrification and denitrification in inflow with different C/N ratios [J]. Environmental Science,2016,37(11):4296–4301 (in Chinese).
- [11] 李文龙,杨碧印,陈益清,等. 不同外加碳源反硝化滤池的深度脱氮特性研究[J]. 水处理技术,2015,41(11):82–85.
Li Wenlong,Yang Biyin,Chen Yiqing,*et al.* Study on denitrification biological filter depth processing characteristics with different external carbon source [J]. Technology of Water Treatment,2015,41(11):82–85 (in Chinese).
- [12] 张焕杰,余璐,朱文颖,等. 固定化反硝化菌在低污染水处理中脱氮性能研究[J]. 生态环境学报,2016,25(5):857–863.
Zhang Huanjie,Yu Lu,Zhu Wenying,*et al.* Nitrogen removal characteristics of immobilized denitrifying bacteria for treatment of slightly-polluted water [J]. Ecology and Environmental Sciences,2016,25(5):857–863 (in Chinese).
- [13] 石明岩,冯兆继,余建恒,等. 垃圾渗滤液与城市污水同步脱氮除碳正交试验[J]. 水处理技术,2010,36(9):69–72.
Shi Mingyan,Feng Zhaoji,Yu Jianheng,*et al.* Simultaneous nitrogen and carbon removal of landfill and urban wastewater by orthogonal experiment [J]. Technology of Water Treatment,2010,36(9):69–72 (in Chinese).
- [14] 苑泉,王海燕,刘凯,等. HRT 对城市污水厂尾水反硝化深度脱氮的影响[J]. 环境科学研究,2015,28(6):987–993.
Yuan Quan,Wang Haiyan,Liu Kai,*et al.* Effects of HRT on denitrification for advanced nitrogen removal of wastewater treatment plant effluent [J]. Research of Environmental Sciences,2015,28(6):987–993 (in Chinese).



作者简介:蒋柱武(1975—),男,湖南永州人,博士,教授,硕士生导师,主要研究方向为水污染控制与资源化。

E-mail:jiangzhuwu@126.com

收稿日期:2018-10-02